

## 2004年電子情報通信学会総合大会

9素子矩形エスペMUSIC法によるコヒーレント波の到来方向推定  
DOA Estimation of Coherent Waves using MUSIC Method with a 9-Elements Rectangular ESPAR Antenna

池田 堅一<sup>1</sup> 永井 潤<sup>1</sup> 藤田 隆宏<sup>1</sup> 山田 寛喜<sup>1,2</sup> 平田 明史<sup>2</sup> 大平 孝<sup>2</sup>  
Kenichi Ikeda Jun Nagai Takahiro Fujita Hiroyoshi Yamada Akifumi Hirata Takashi Ohira  
B-1-272 山口 芳雄<sup>1</sup>  
Yoshio Yamaguchi

新潟大学 工学部<sup>1</sup>  
Faculty of Engineering, Niigata University

ATR 適応コミュニケーション研究所<sup>2</sup>  
ATR Adaptive Communications Research Laboratories

## 1 まえがき

2次元空間に配置されたアーレーアンテナでは2次元(仰角, 方位角)到来方向推定が可能である。本稿では、方位角・仰角を有する複数のコヒーレント波に対し、9素子矩形エスペアンテナにSSP法を施したMUSICを適用したDOA推定法を提案する。またSSP法を施した際の相関抑圧効果の考察を行なった。

## 2 リアクタンスドメイン MUSIC 法

図1に示されるような9素子矩形エスペアンテナにおいて $d$ 個の入射波が到来している環境を考える。仰角 $\psi$ 、方位角 $\phi$ の定義を図2に示す。各々が $(\psi_k, \phi_k)$ 方向( $k = 1, \dots, d$ )から複素振幅 $s_k(t)$ で到来する場合、 $M$ 個の独立なリアクタンスセットで得られる受信信号ベクトル $\mathbf{y}(t)$ は、

$$\begin{aligned} \mathbf{y}(t) &= [y_1(t), y_2(t), \dots, y_M(t)]^T \\ &= \mathbf{W} \sum_{k=1}^d \mathbf{a}(\psi_k, \phi_k) s_k(t) + \mathbf{n}(t) \end{aligned} \quad (1)$$

となる。 $\mathbf{W}$ は等価ウェイト行列[1],  $\mathbf{a}(\psi_k, \phi_k)$ は入射波の到来方向を示すモードベクトル,  $\mathbf{n}(t)$ は熱雑音,  $T$ は転置を表す。式(1)において、等価ウェイト行列 $\mathbf{W}$ が既知であれば、次式の変換より得られる信号相関行列 $\mathbf{R}_s$ を用いてMUSIC法が適用できる。

$$\mathbf{R}_s = \mathbf{W}^{-1} (\mathbf{R}_y - \sigma^2 \mathbf{I}) (\mathbf{W}^{-1})^H = \mathbf{A} \mathbf{S} \mathbf{A}^H \quad (2)$$

ここで、 $\mathbf{S}$ は信号相関行列、 $\mathbf{R}_y$ は $\mathbf{y}(t)$ から成る相関行列、 $H$ は複素共役転置、 $\sigma^2$ は雑音電力である。

## 3 SSP 法の適用

式(2)で与えられる信号相関行列 $\mathbf{R}_s$ にSSP法[2]を適用する。9素子矩形エスペアンテナの場合、図3に示すように4個の4素子矩形サブアレーが形成できる。

## 4 シミュレーション結果

シミュレーションで使用するデータは信号電力0[dB], SNR=∞[dB]とする。 $(30^\circ, 0^\circ)$ と $(15^\circ, 90^\circ)$ 方向からコヒーレント2波が入射する時のMUSICスペクトラムを図4, 5に示す。SSP法の適用により2つのピークが検出できている。相関係数の推定にあたり、ここでは入射波1波目の到来方向を $(0^\circ, 0^\circ)$ に固定し、2波目の到来方向を変化させ実効相関係数を推定した。実効相関係数の大きさ $\rho_{21}$ の定義は次のとおりである。

$$\rho_{21} = \frac{|s_{21}|}{\sqrt{s_{11}} \sqrt{s_{22}}} \quad (3)$$

$s_{ij}$ はSSPを施した行列 $\mathbf{S}$ の $(i, j)$ 要素である。結果を図6に示す。x軸およびy軸は2波目の方位角および仰

角、z軸は相関係数である。仰角の大きさによらず2波目の方位角が $180^\circ$ の時に相関係数の大きさは最小となるが、仰角が大きくなるにつれ相関抑圧効果が弱まることがわかる。

## 5 むすび

本稿では、9素子矩形エスペアンテナにSSP法を適用した際の相関抑圧効果を計算機シミュレーションより示した。今後はF/B空間平均法の適用やサブアレーの形状を変えた場合についても検討を行なっていく。

## 謝辞

本研究は通信・放送機構の研究委託により実施した。

## 参考文献

- [1] 平田他, 信学技法, AP2003-24, pp.59–64, May 2003.
- [2] Y.Chen, IEEE Trans., vol.45, No.7, pp.1689–1696, July 1997.

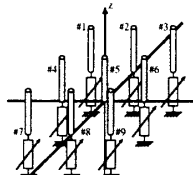


図1 9素子エスペアンテナ

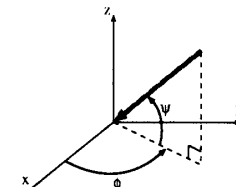


図2 仰角と方位角の定義

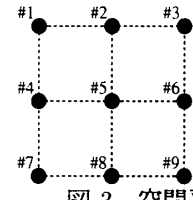


図3 空間平均におけるサブアレー

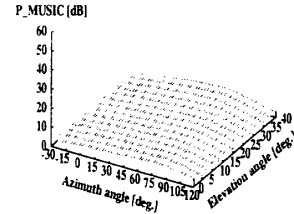


図4 MUSICスペクトラム (without SSP)

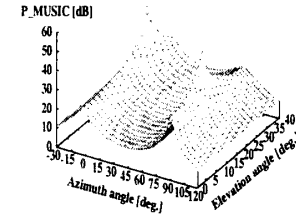


図5 MUSICスペクトラム (with SSP)

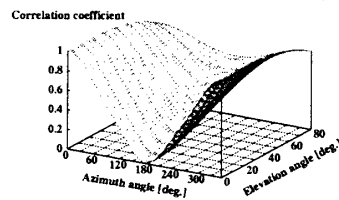


図6 相関抑圧効果